

# Computer Graphics

From mathematics ...



... to the screen

E. Galin  
Université Lyon 1

# Computer Graphics

Core  
Modeling  
Ray Tracing  
**Meshing**

# Computer Graphics

## Introduction

# Classification

## Introduction

Meshing

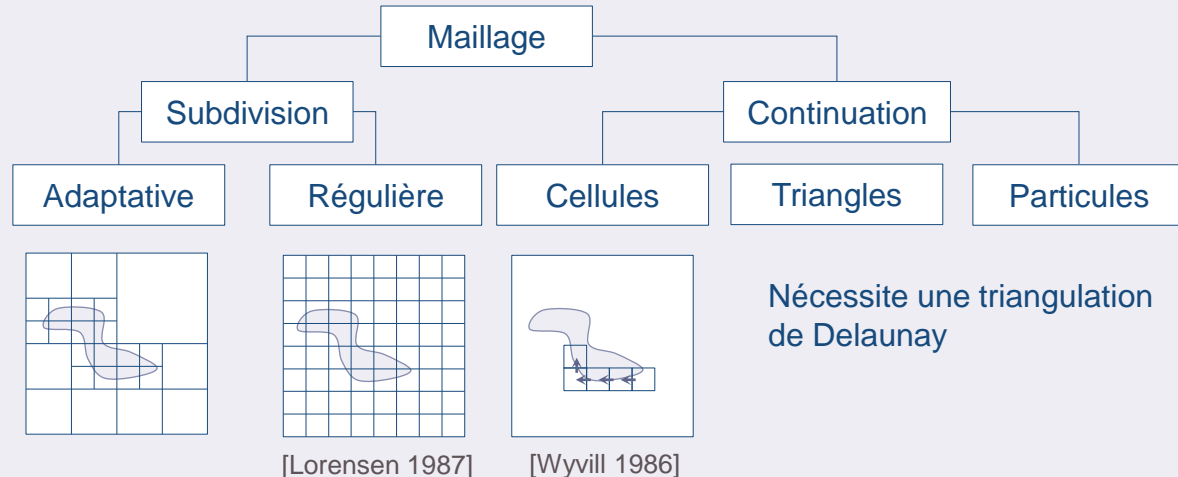
Particles

Appendix

## Classification

Décomposition de l'espace  $\mathbf{R}^3$  ou **continuation** sur la surface  $S$

Le maillage  $M$  est une approximation de la surface  $S$



Nécessite une triangulation de Delaunay

## Critères de qualité

Cohérence topologique, maillage homéomorphe à la surface

Bonne approximation géométrique

Triangles de bonne qualité

L'algorithme rapide et robuste

Appendix : qualité d'un triangle ?



[eric.galin@liris.cnrs.fr](mailto:eric.galin@liris.cnrs.fr)

<http://liris.cnrs.fr/~egalin>

B. Wyvill, C. Mc.Pheeers and G. Wyvill. Data Structure for Soft Objects. *The Visual Computer*, 2(4), 227-234, 1986.

W.E. Lorensen and H.E. Cline. Marching Cubes: a High Resolution 3D Surface Construction Algorithm. *Computer Graphics*, 21(4), 1987.

# Computer Graphics

## Continuation methods

# Décomposition de l'espace

Introduction  
Meshing  
Particles  
Appendix

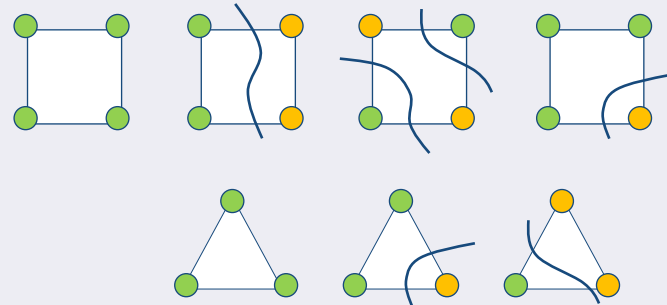
## Décomposition de l'espace

Grille de  $n^3$  cellules cubiques  $C_{ijk}$

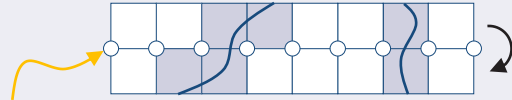
Calcul du signe de  $f(\mathbf{p})$  aux sommets

Analyse des  $2^8 = 256$  configurations et maillage

La subdivision en tétraèdres évite les ambiguïtés  
Réduction à  $2^4 = 16$  configurations

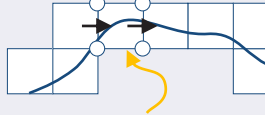


Balayage [Lorensen1987]  
Coût en  $O(n^3)$



Réutilisation des calculs dans  
le plan entre deux couches

Continuation [Wyvill1986]  
Coût  $O(n^2)$



Réutilisation des calculs  
dans les cubes

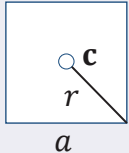
Nécessite une  
table de hashage

# Approches hiérarchiques

Introduction  
Meshing  
Particles  
Appendix

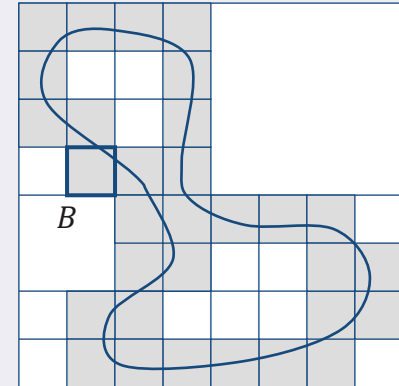
## Subdivision adaptative

Critère de Lipschitz déterminant que  $S \cap B = \emptyset$



$$|f(\mathbf{c})|/\lambda > r \Rightarrow S \cap B = \emptyset$$

Centre      Rayon de la cellule  
 $r = \sqrt{3} a$       Taille du coté



```
Let B the cell, c its center, r its radius
If B is a terminal cell
    Update mesh with triangles in B
Else
    If |f(c)|/\lambda > r
        End of recursion
    Else
        Apply recursion to sub-cells
```

2<sup>8</sup> configurations,  
Vertices  $\mathbf{v}_k$  of  $S \cap B$

## Difficultés

Générer la connectivité : ne pas recalculer les sommets  $\mathbf{v}_k$  et  $\mathbf{c}$  entre cellules

Utiliser une borne de Lipschitz locale  $\lambda_B = \sup_B |\nabla f|$  meilleure que  $\lambda$  globale

Nécessite une  
table de hashage

# Marching Triangles

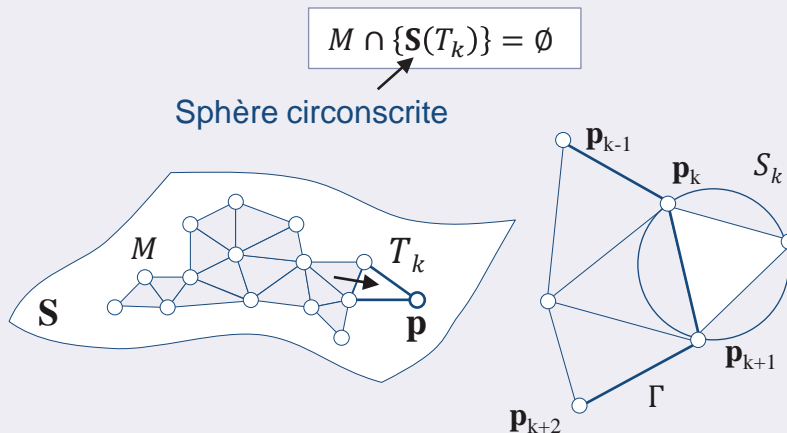
Introduction  
Meshing  
Particles  
Appendix

## Principe

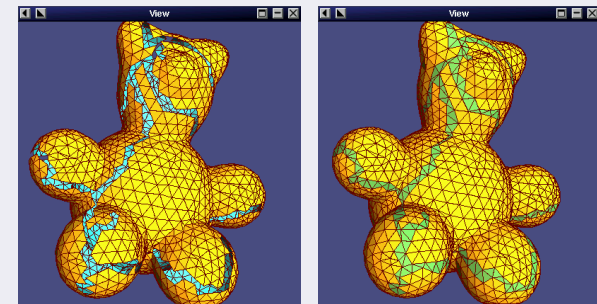
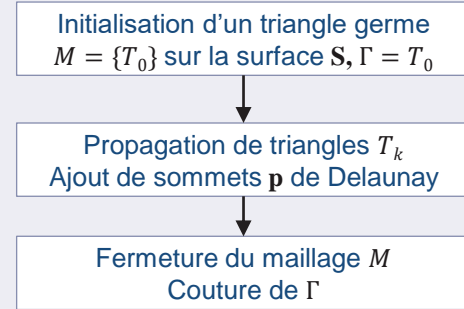
Construction de triangles quasi équilatéraux [Hilton1996] sur la surface  $S$

Critère de la sphère vide pour l'ajout d'un triangle

Mise à jour d'une courbe frontière  $\Gamma$  de propagation



Adaptation à la courbure [Akkouche2001]



# Computer Graphics

## Particles

# Particules

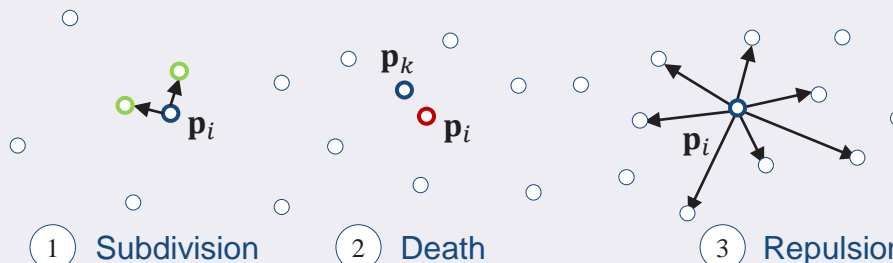
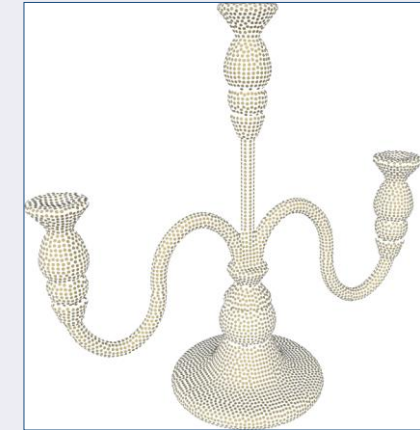
Introduction  
Meshing  
Particles  
Appendix

## Principe

Méthode générale [Witkin1994] pour les formes implicites  
Produit un nuage de points  $P$  sur  $S$  ; maillage par Delaunay

```
Initialize  $P = \{p_0\}$  on  $S$  as unstable
While  $P$  unstable
  For all particles  $p_i \in P$ 
    Find set of neighboring particles  $N(p_i)$  (circled)
    If  $N$  is not dense
      Subdivide  $p_i$  into two particles (1)
    If  $N$  is too dense
      Kill particle  $p_i$  (2)
    Otherwise
      Move particle  $p_i$  by repulsion (3)
```

$n$  – nearest neighbors



$$\delta_i \propto \sum_{q \in N(p_i)} k(\|p_i - q\|) (p_i - q)$$

Kernel      Direction towards other particles

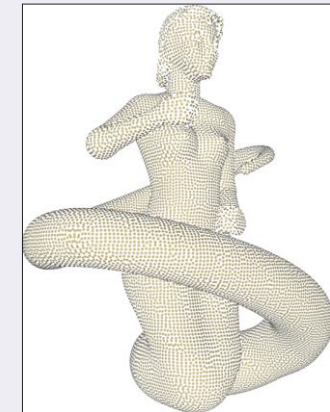
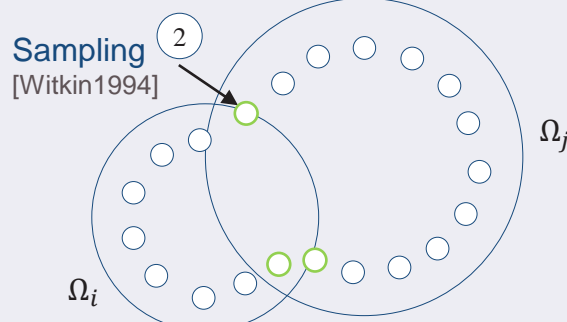
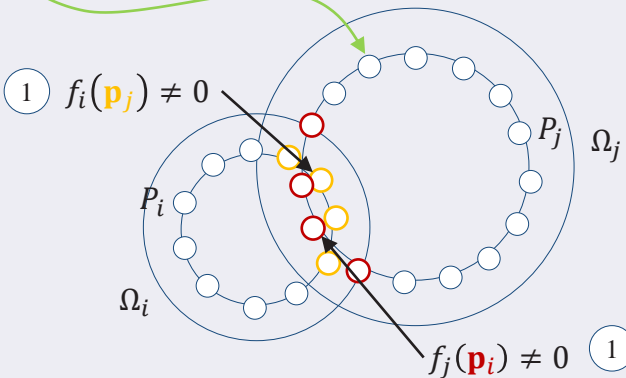
# Accélération pour les arbres de construction

Introduction  
Meshing  
Particles  
Appendix

## Principe

Echantillonage  $P_i$  de la surface  $S_i$  des primitives  
Combinaison des  $P_i$  au niveau des opérateurs [Galin2006]  
Suppose des primitives à support compact [Wyvill 1999]

Compute the samples  $P_i$  and  $P_j$  of the two subtrees  
Freeze the particles of  $P_i$  and  $P_j$   
Remove  $\mathbf{p}_i \in P_i$  such that  $f_j(\mathbf{p}_i) \neq 0$   
Similarly with  $\mathbf{p}_j \in P_j$  such that  $f_i(\mathbf{p}_j) \neq 0$   
Complete sampling with Witkin's algorithm



eric.galin@liris.cnrs.fr

<http://liris.cnrs.fr/~egalin>

E. Galin, R. Allègre and S. Akkouche. A Fast Particle System Framework for Interactive Implicit Modeling. *Shape Modeling International*, 2006.

# Computer Graphics

## Appendix

# Qualité de maillage

Introduction  
Meshing  
Particles  
**Appendix**

## Cercles circonscrits et inscrits

Calcul de  $r$  et  $R$

$$s = \frac{a + b + c}{2}$$

$$u = (s - a)(s - b)(s - c)$$

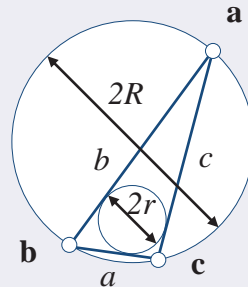
$$r = \frac{\sqrt{u}}{\sqrt{s}}$$

$$R = \frac{abc}{4A} = \frac{abc}{4\sqrt{su}}$$

Définitions équivalentes

$$r = \frac{|\mathbf{ab} \times \mathbf{ac}|}{\mathbf{ab} + \mathbf{bc} + \mathbf{ca}}$$

$$R = \frac{\mathbf{ab} \cdot \mathbf{bc} \cdot \mathbf{ca}}{2|\mathbf{ab} \times \mathbf{ac}|}$$



## Aspect d'un triangle

On définit  $\rho = 2r/R \in [0,1]$

$$\rho = \frac{8u}{abc}$$